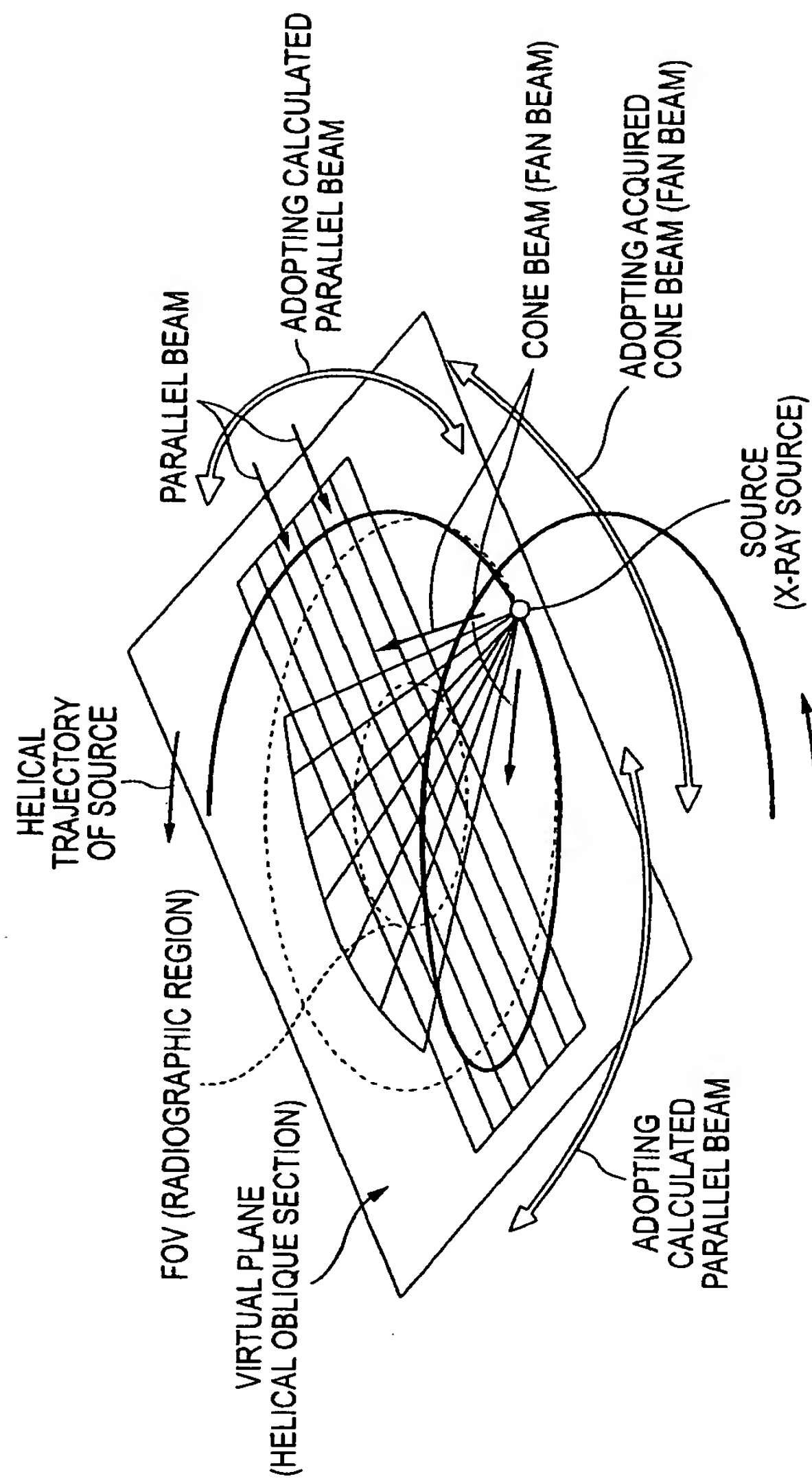
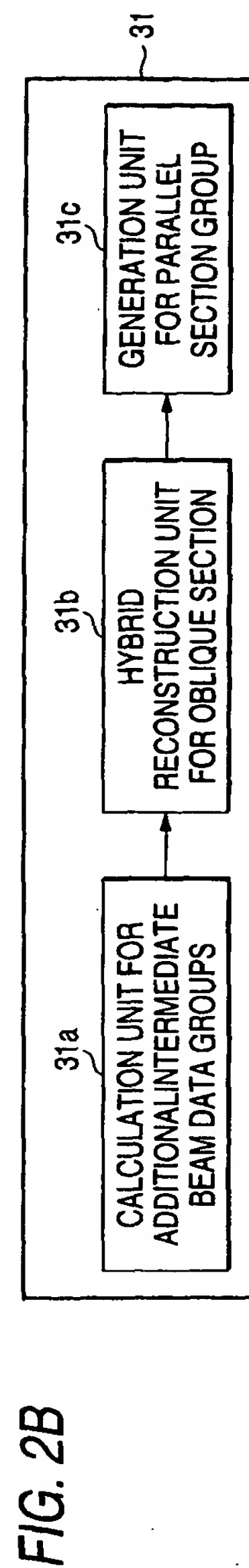
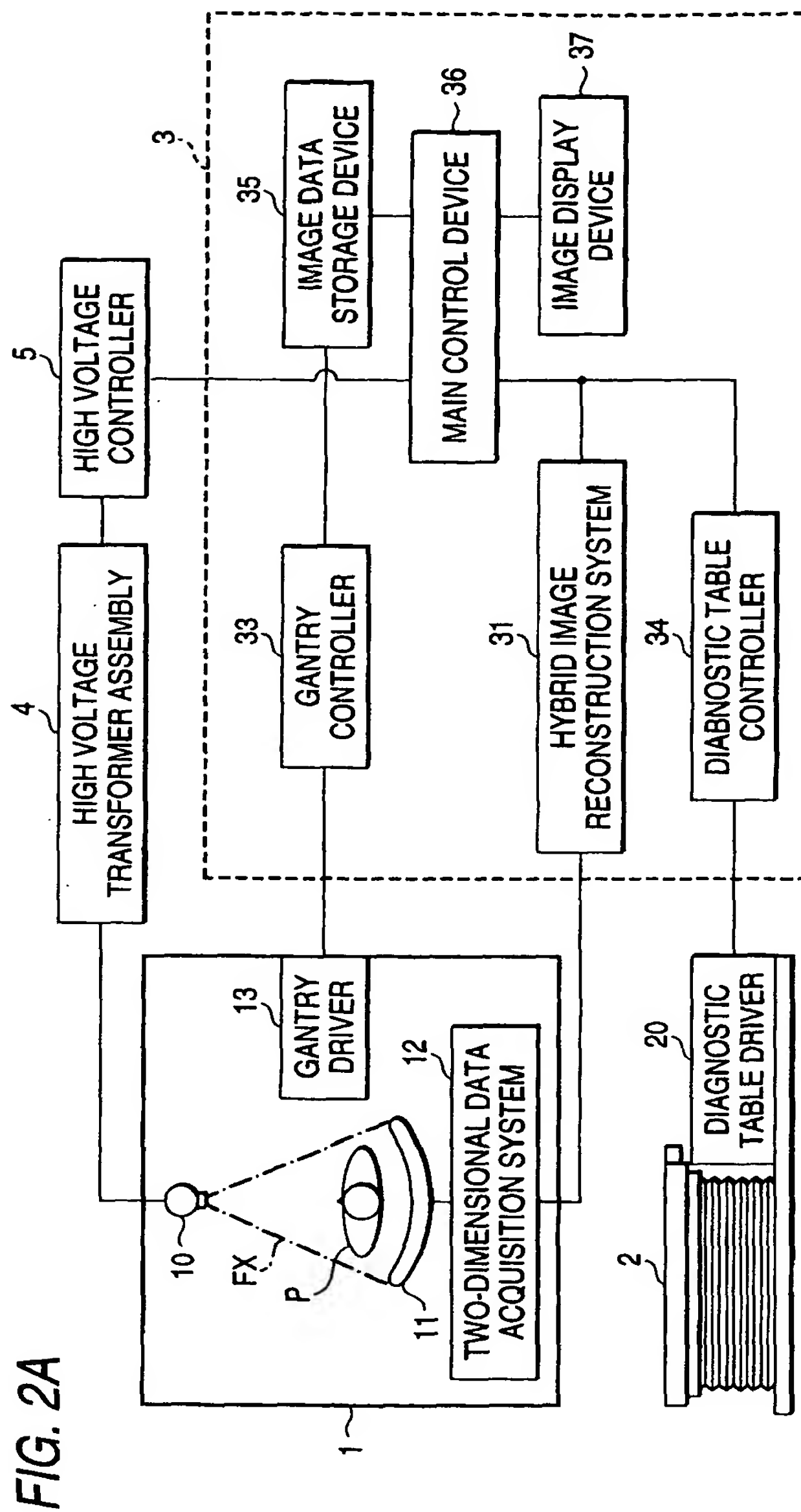


FIG. 1



2/20



3/20

FIG. 3

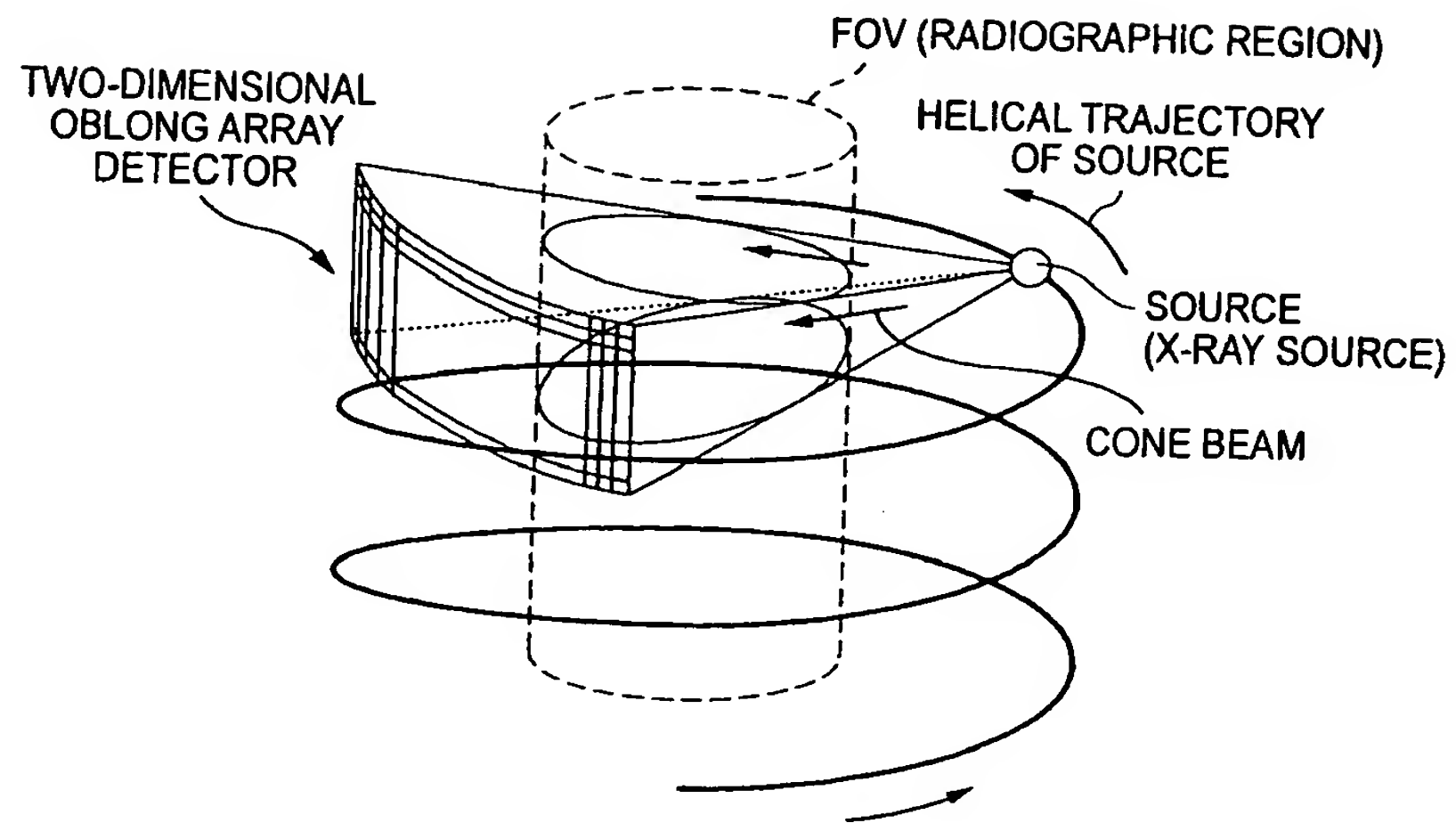
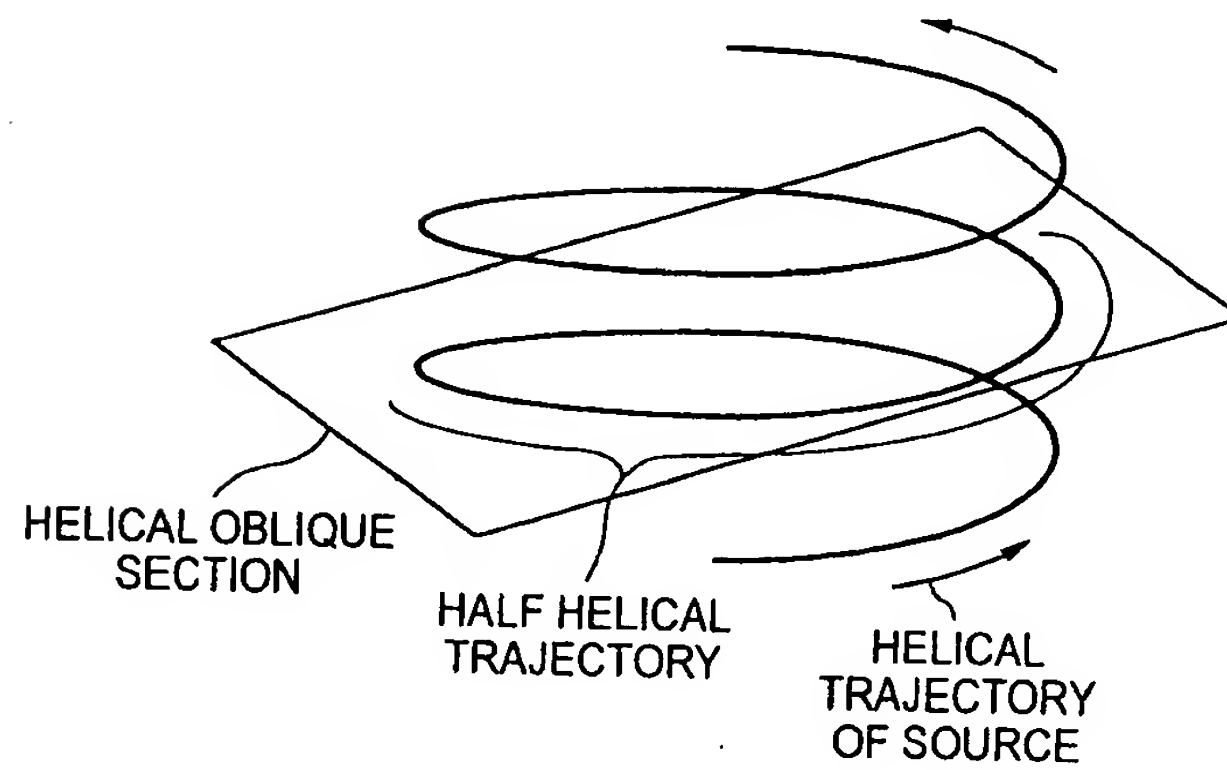


FIG. 4
PRIOR ART



4/20

FIG. 5

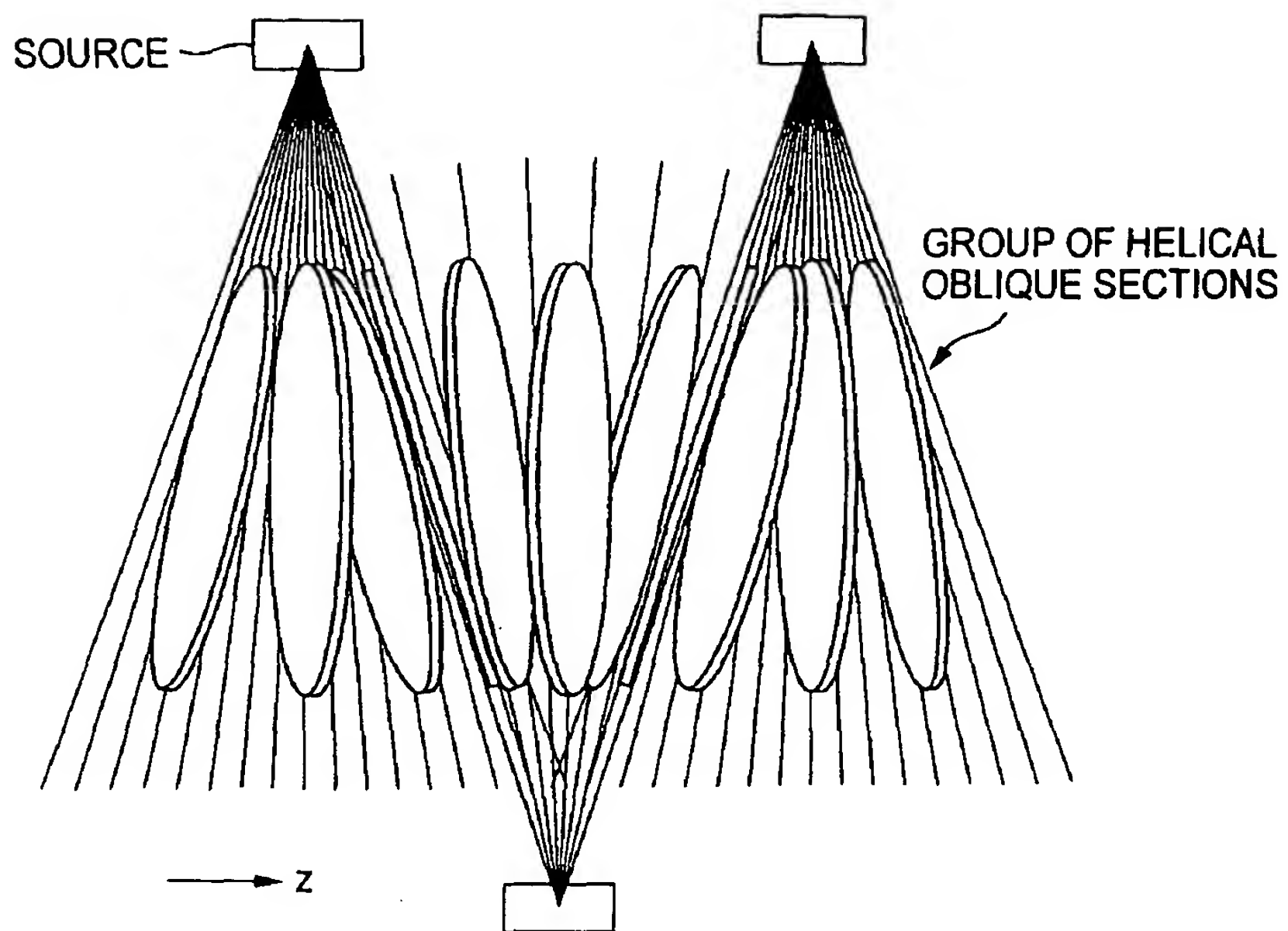


FIG. 6

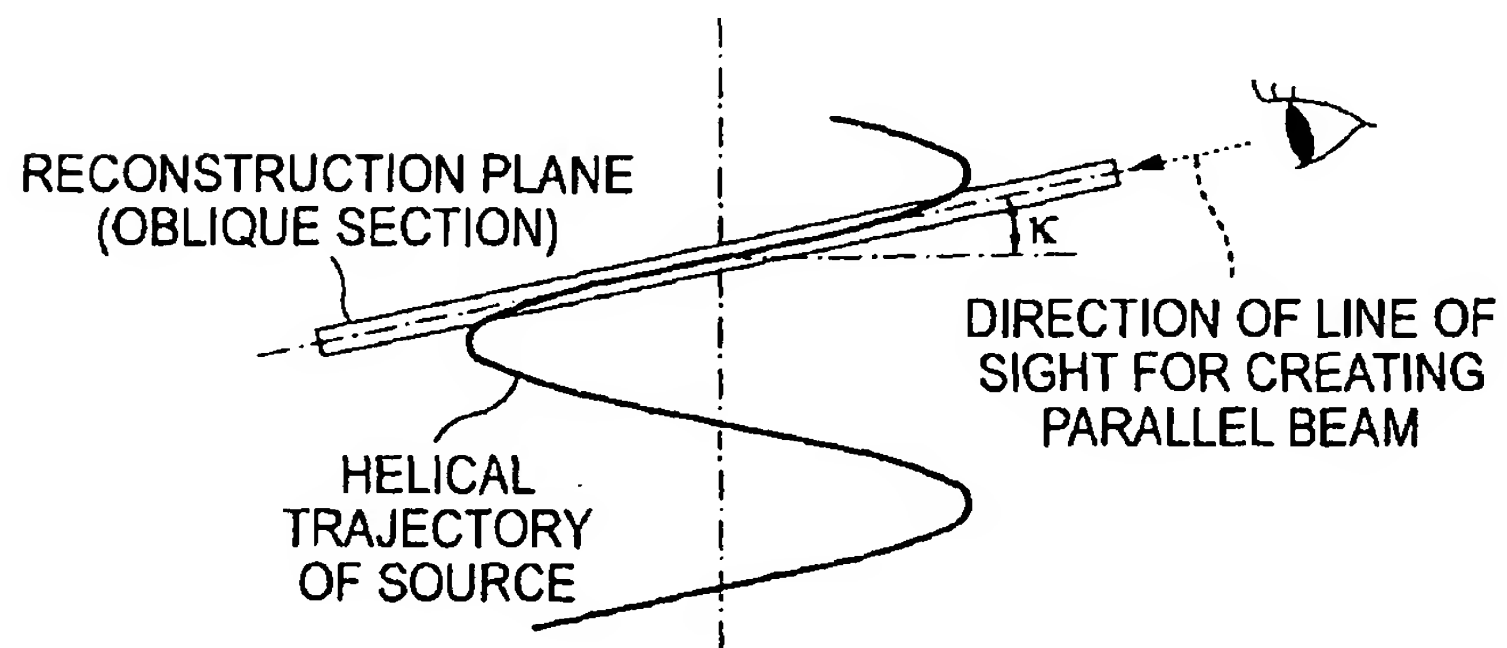


FIG. 7A

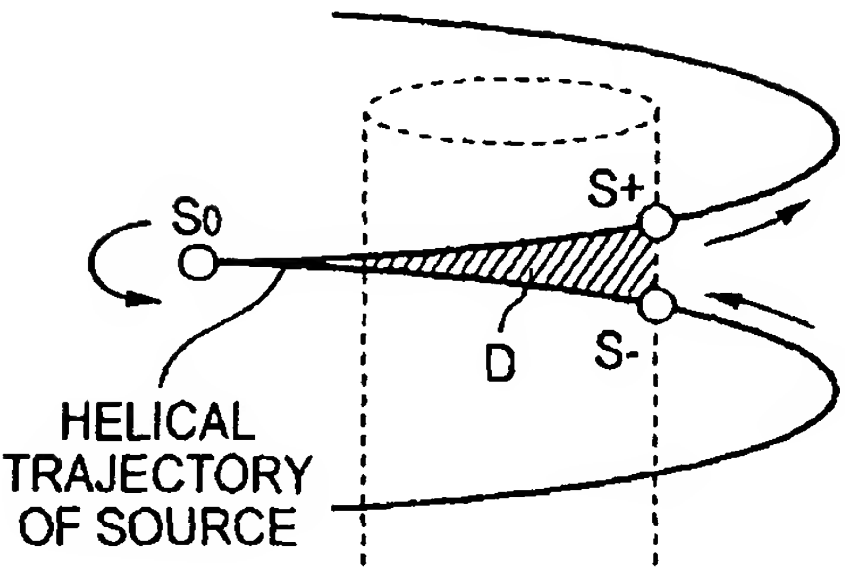


FIG. 7B

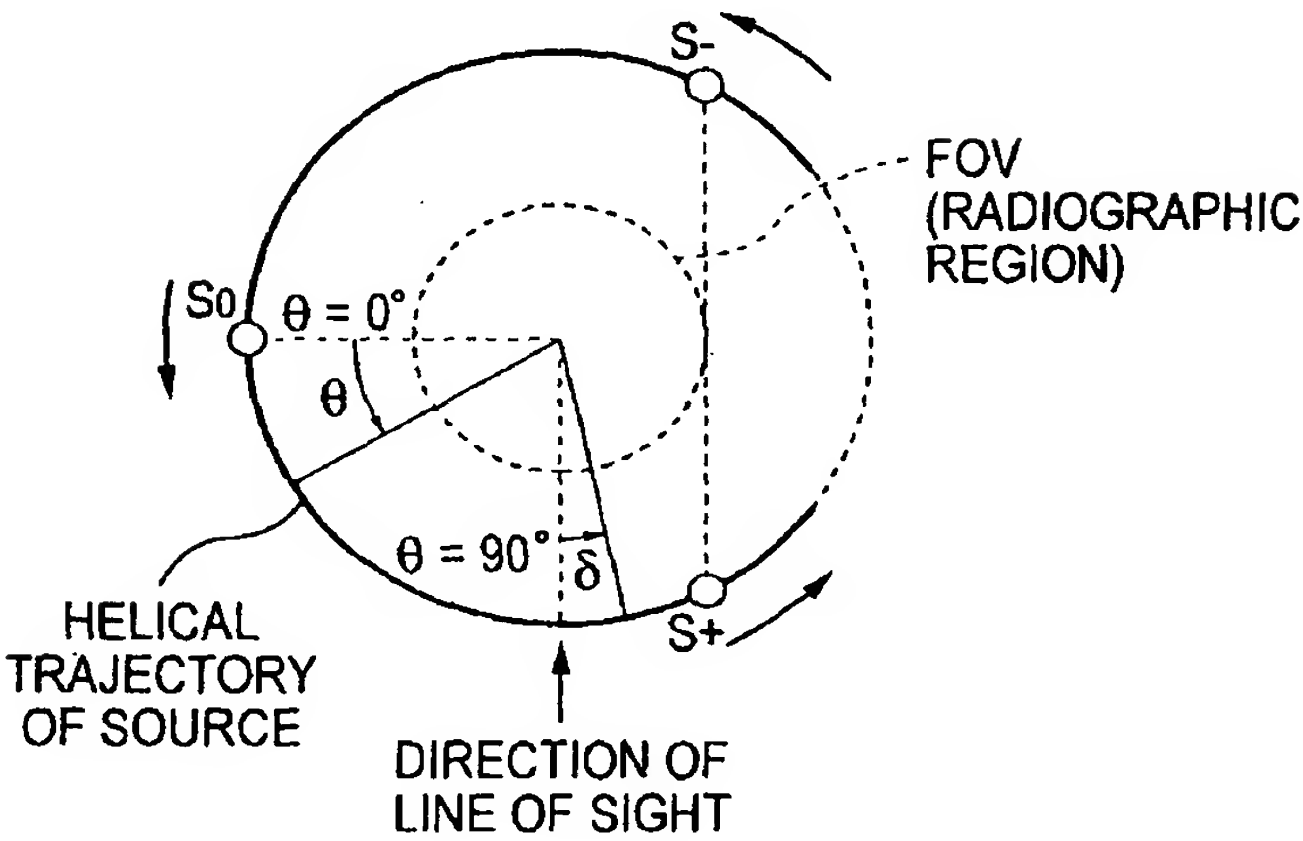


FIG. 7C

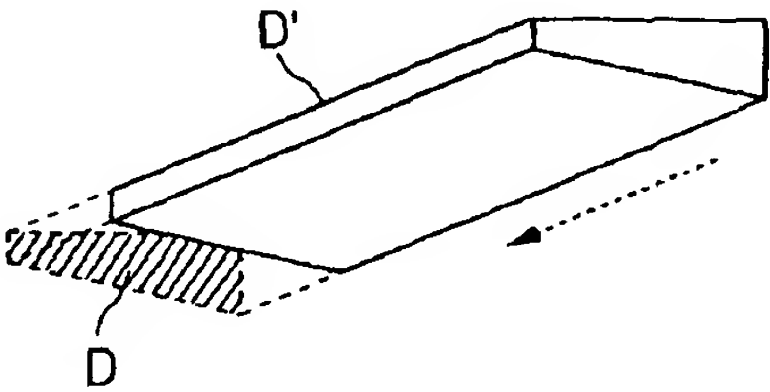


FIG. 8A

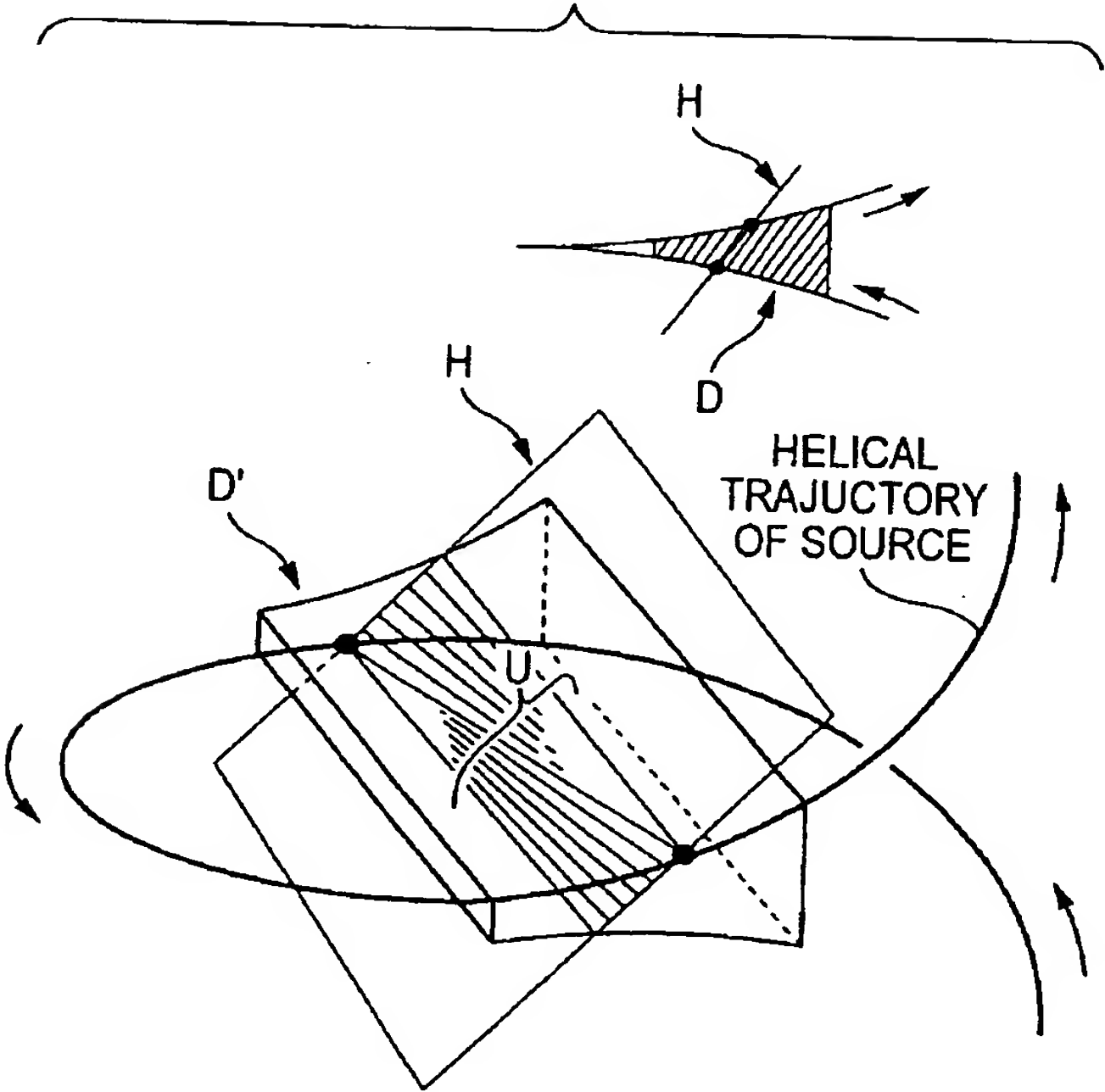


FIG. 8B

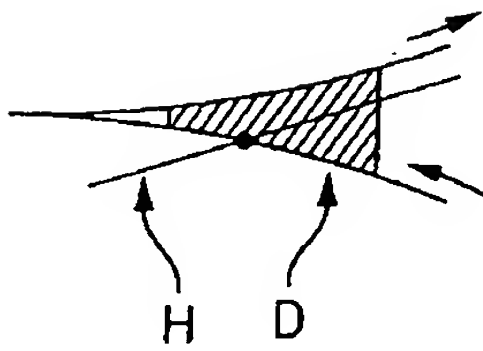


FIG. 8C

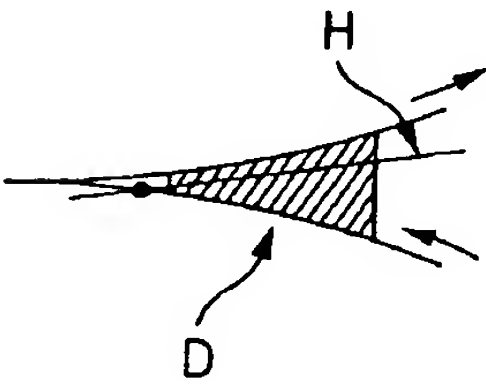
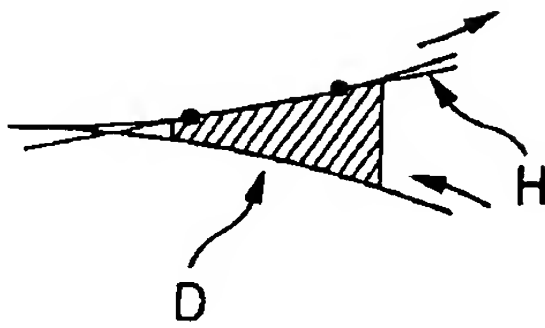


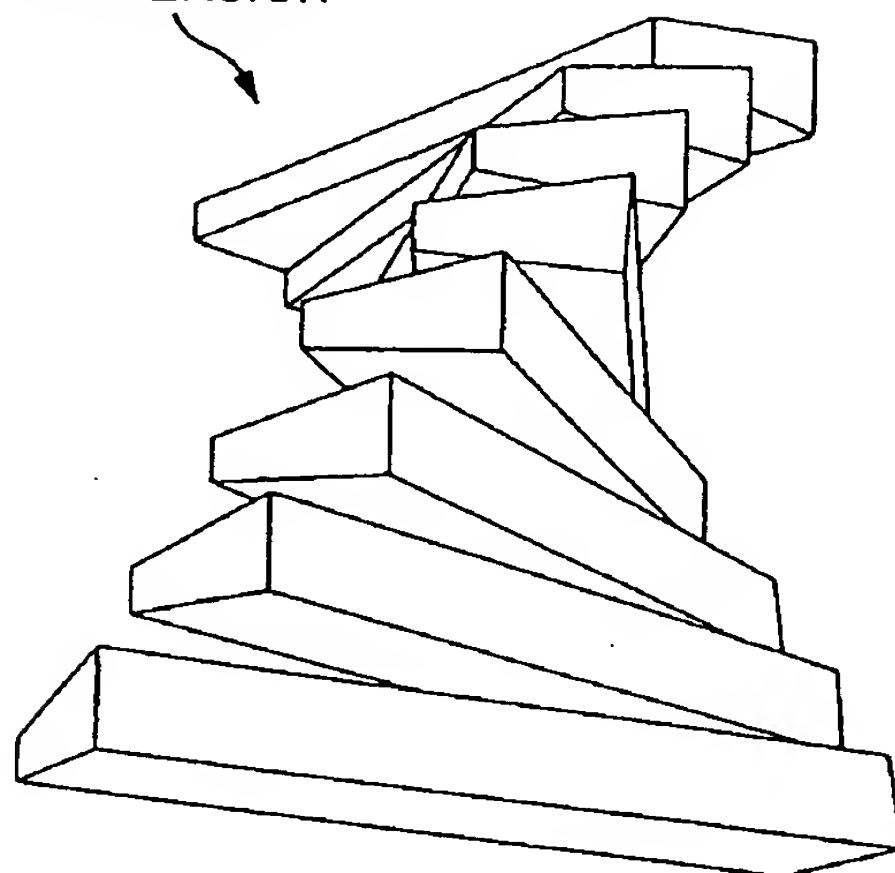
FIG. 8D



7/20

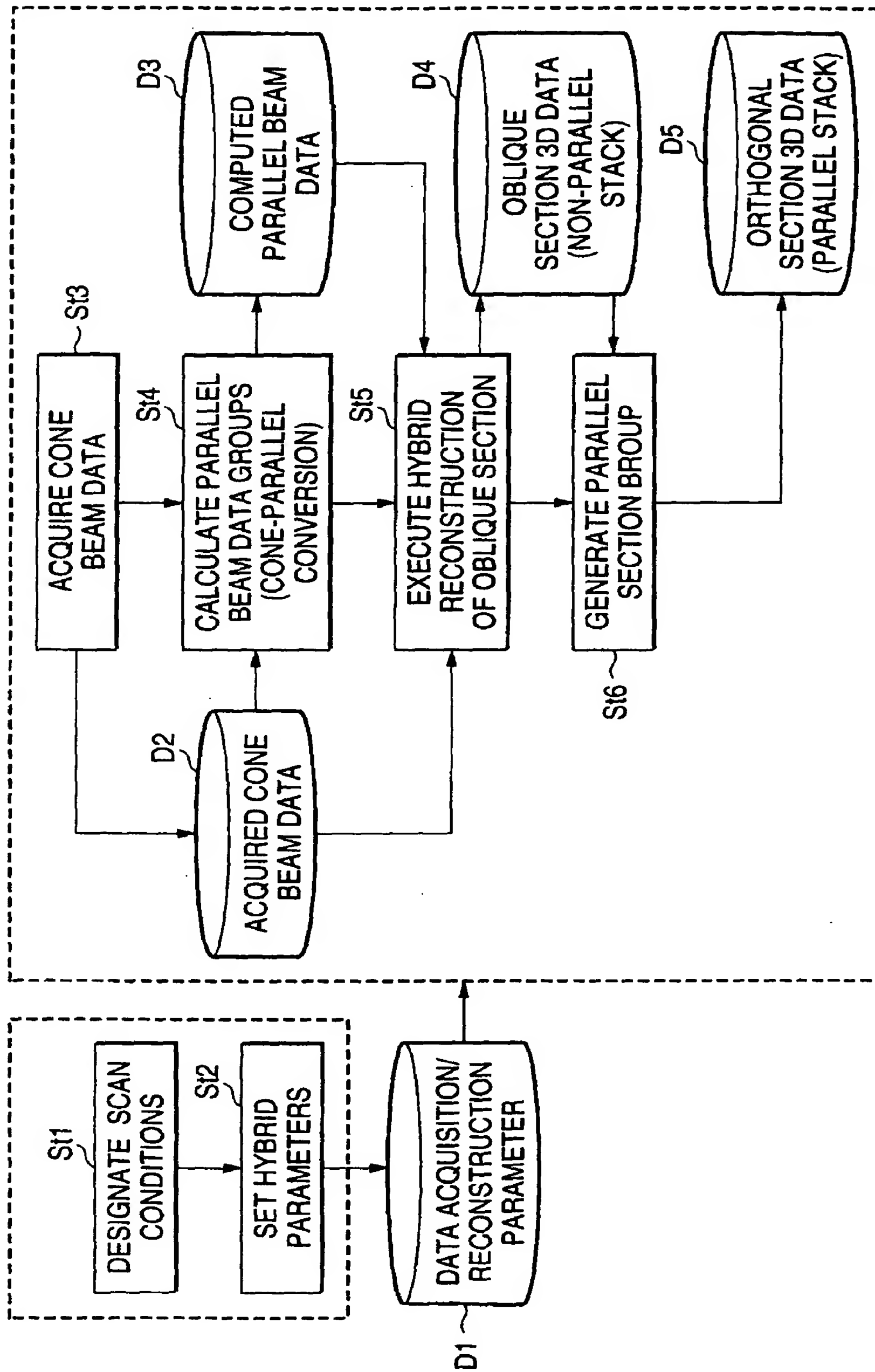
FIG. 9

PARALLEL DATA GROUPS
BASED ON CONE-PARALLEL
CONVERSION



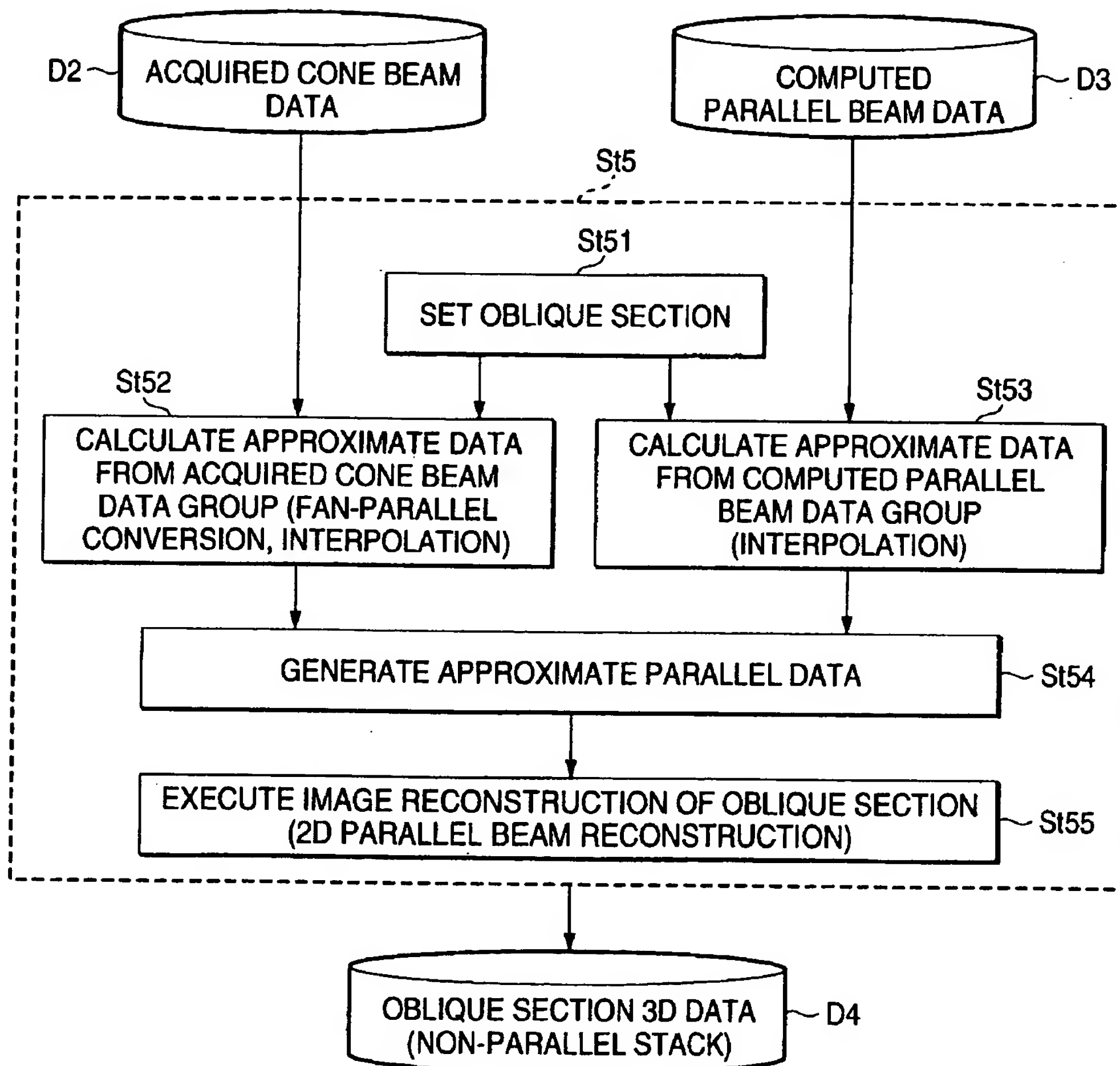
8/20

FIG. 10A



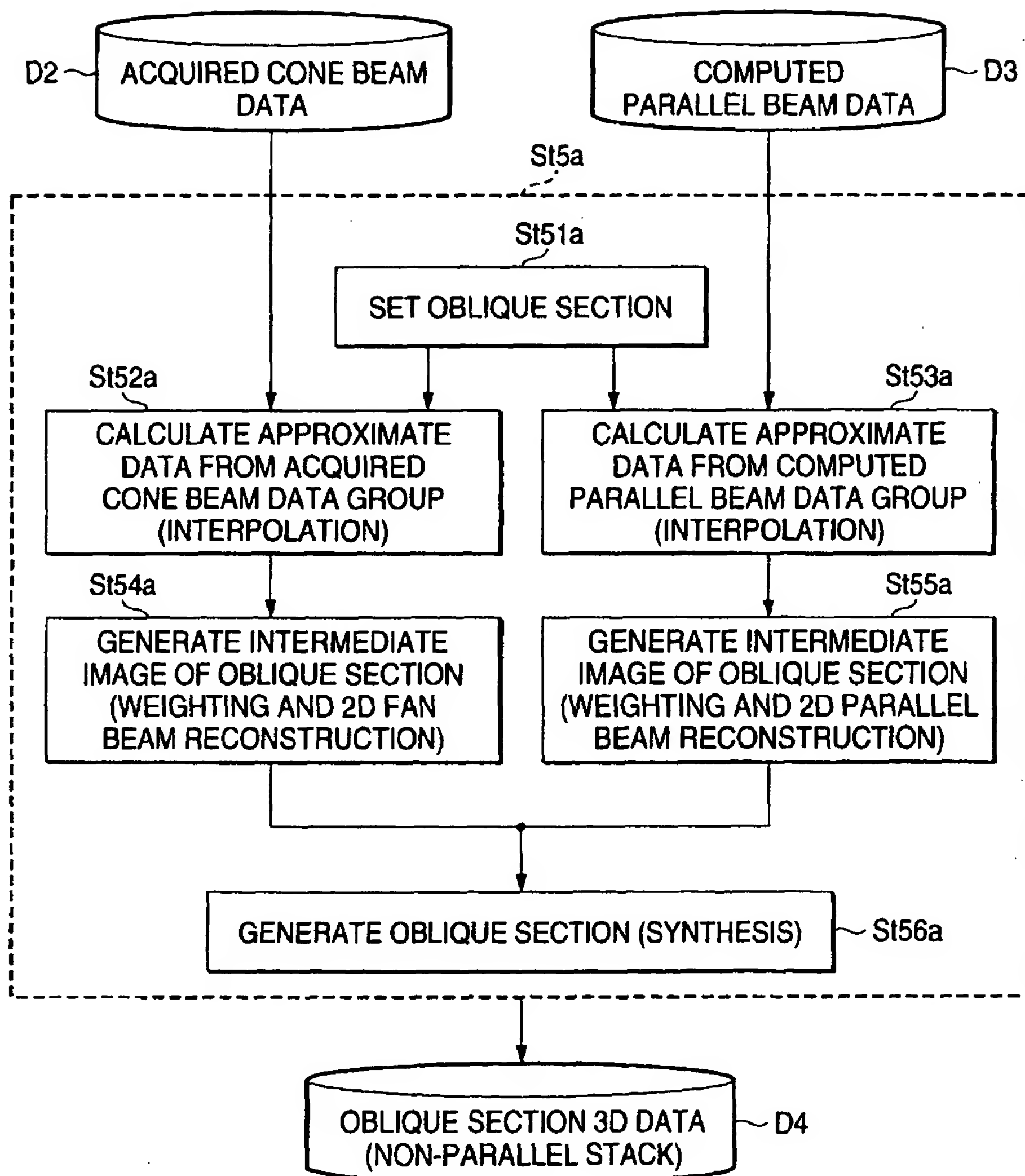
9/20

FIG. 10B



10/20

FIG. 11



11/20

FIG. 12A

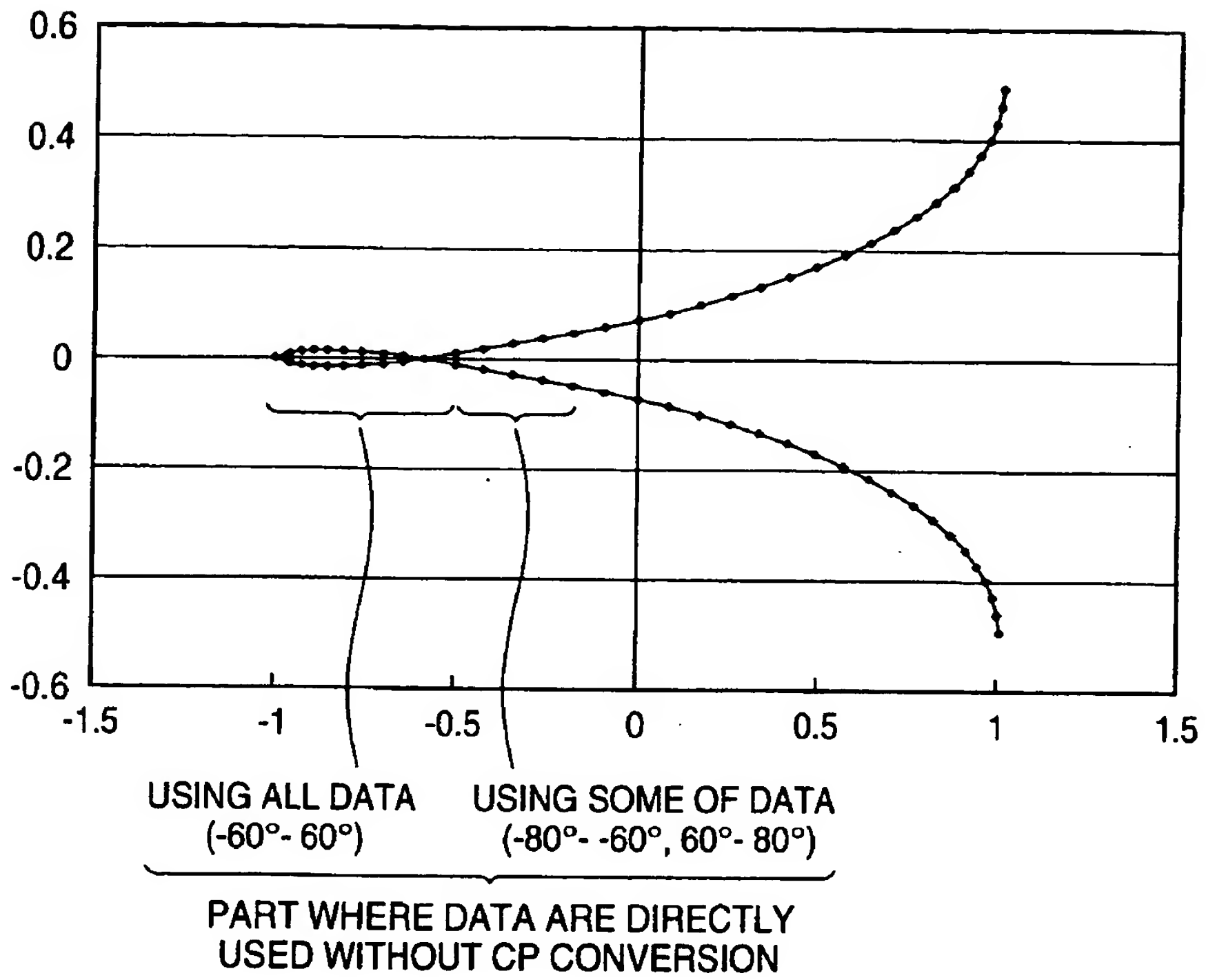
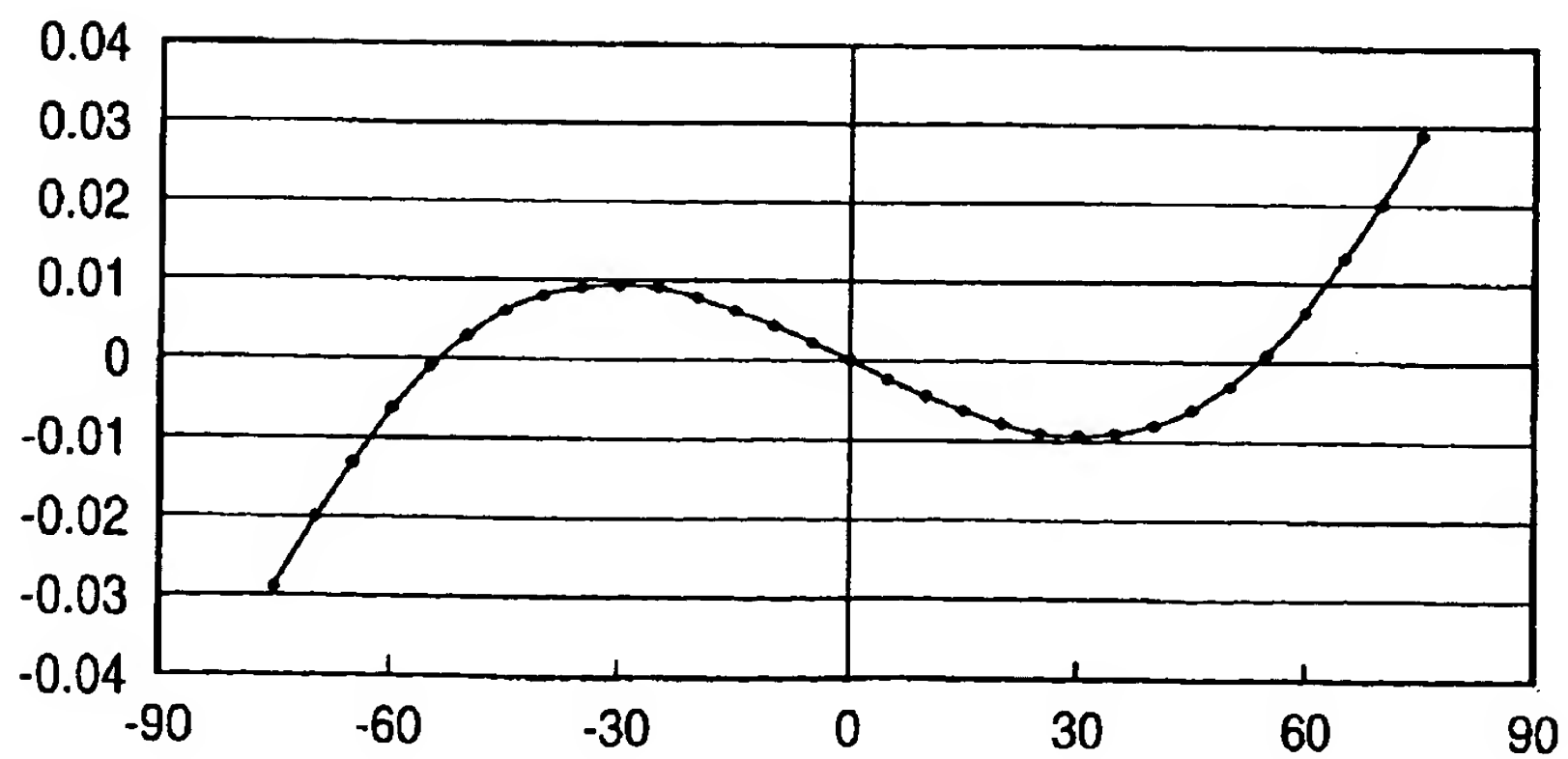
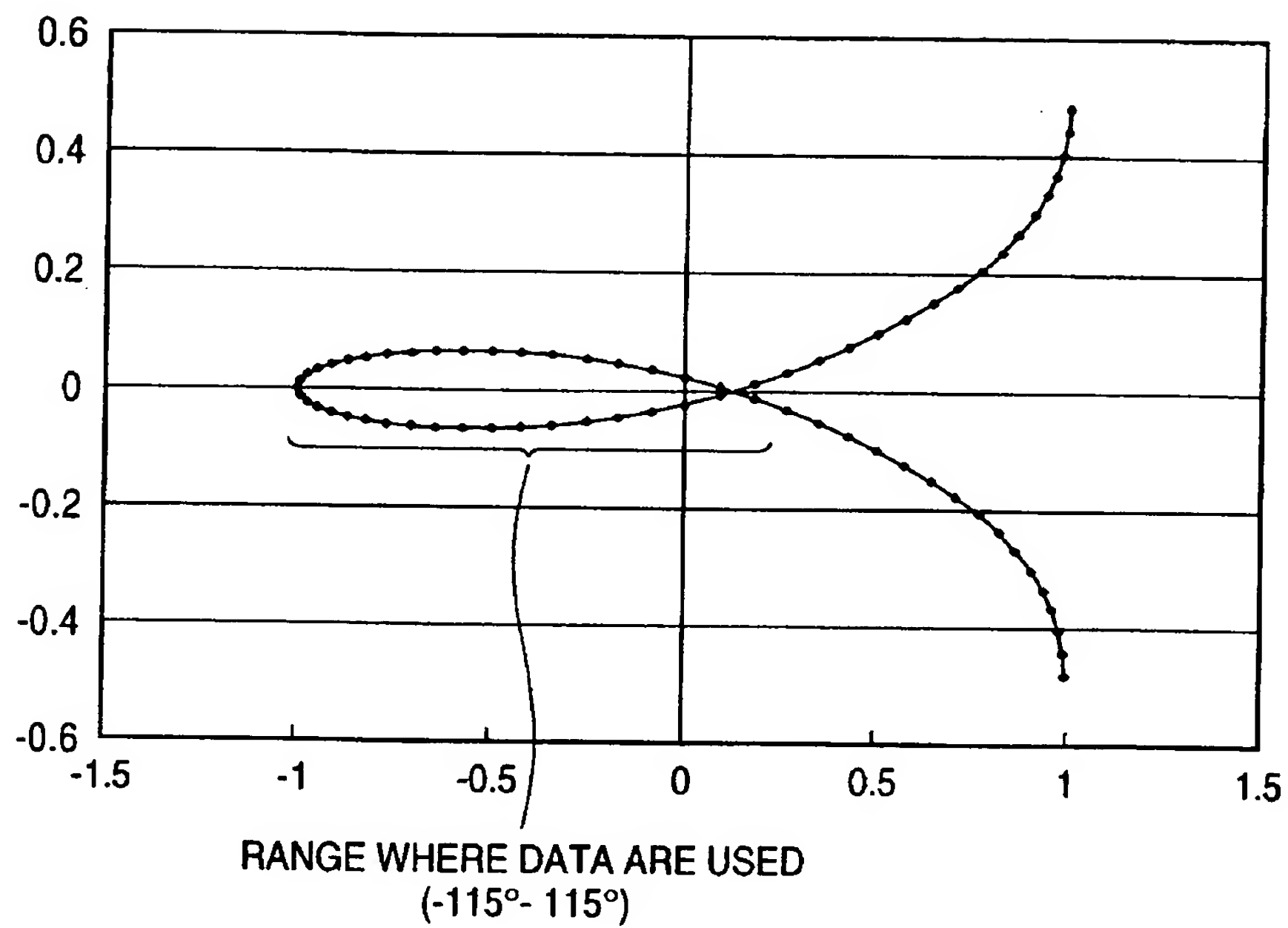


FIG. 12B



12/20

FIG. 13
PRIOR ART



13/20

FIG. 14A

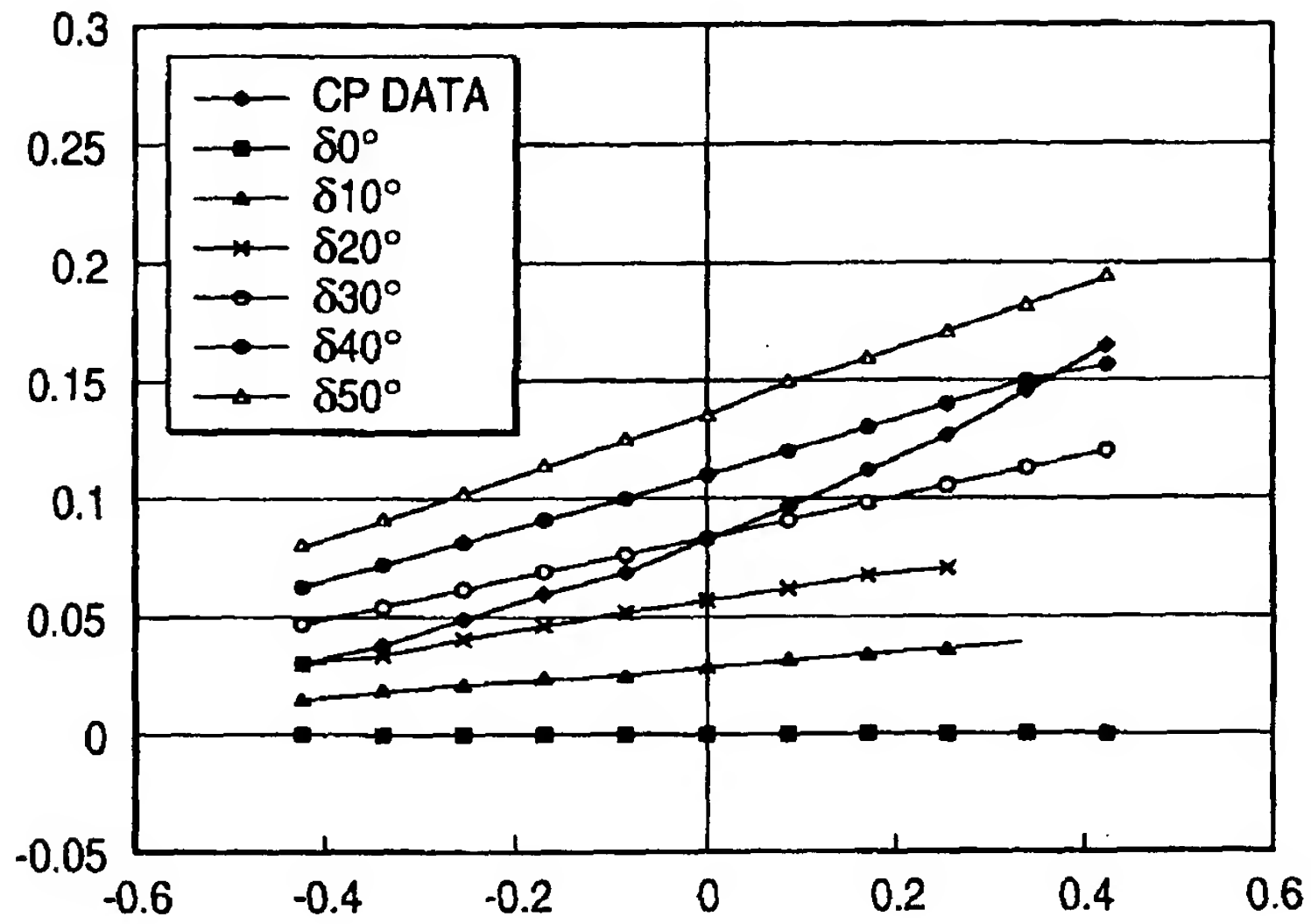


FIG. 14B

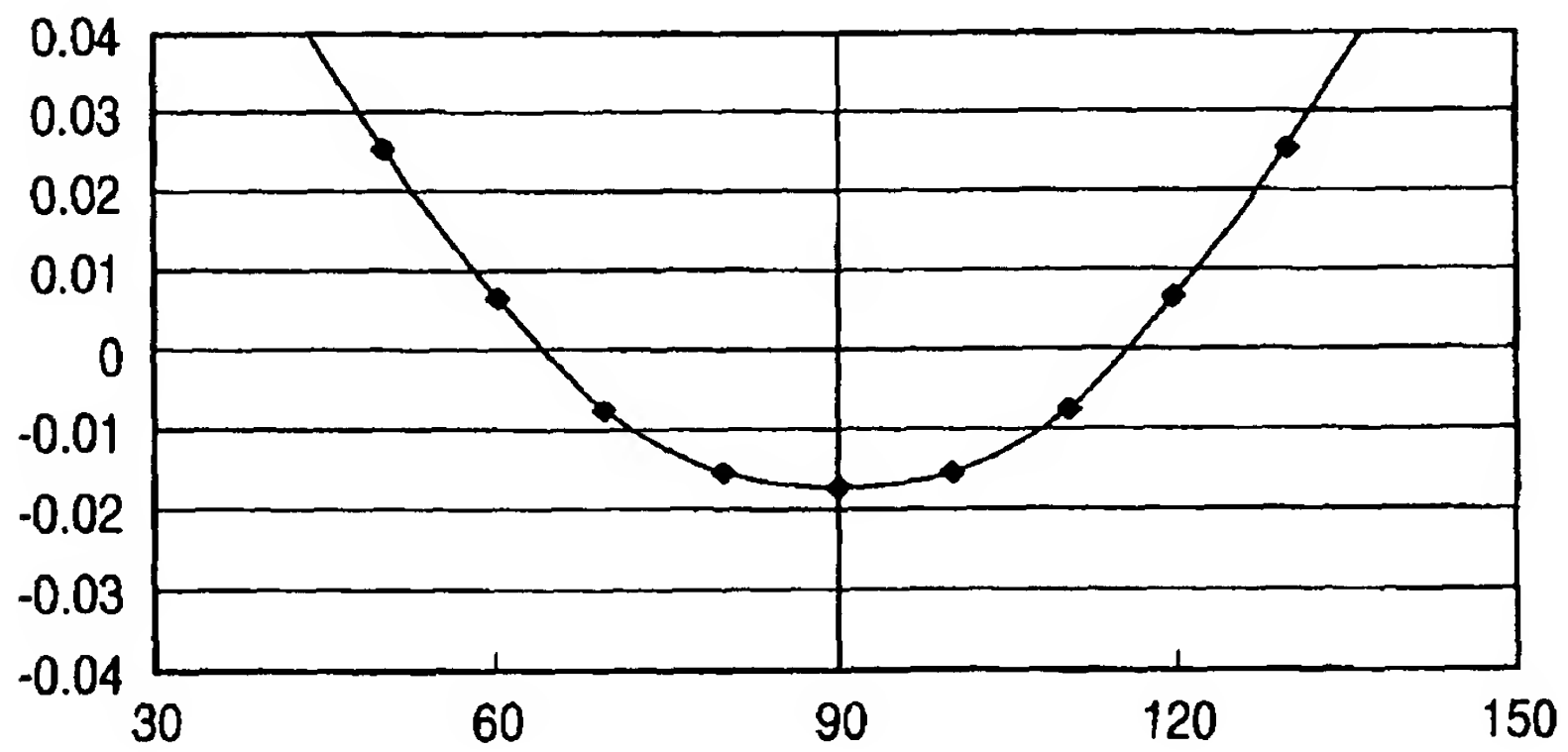
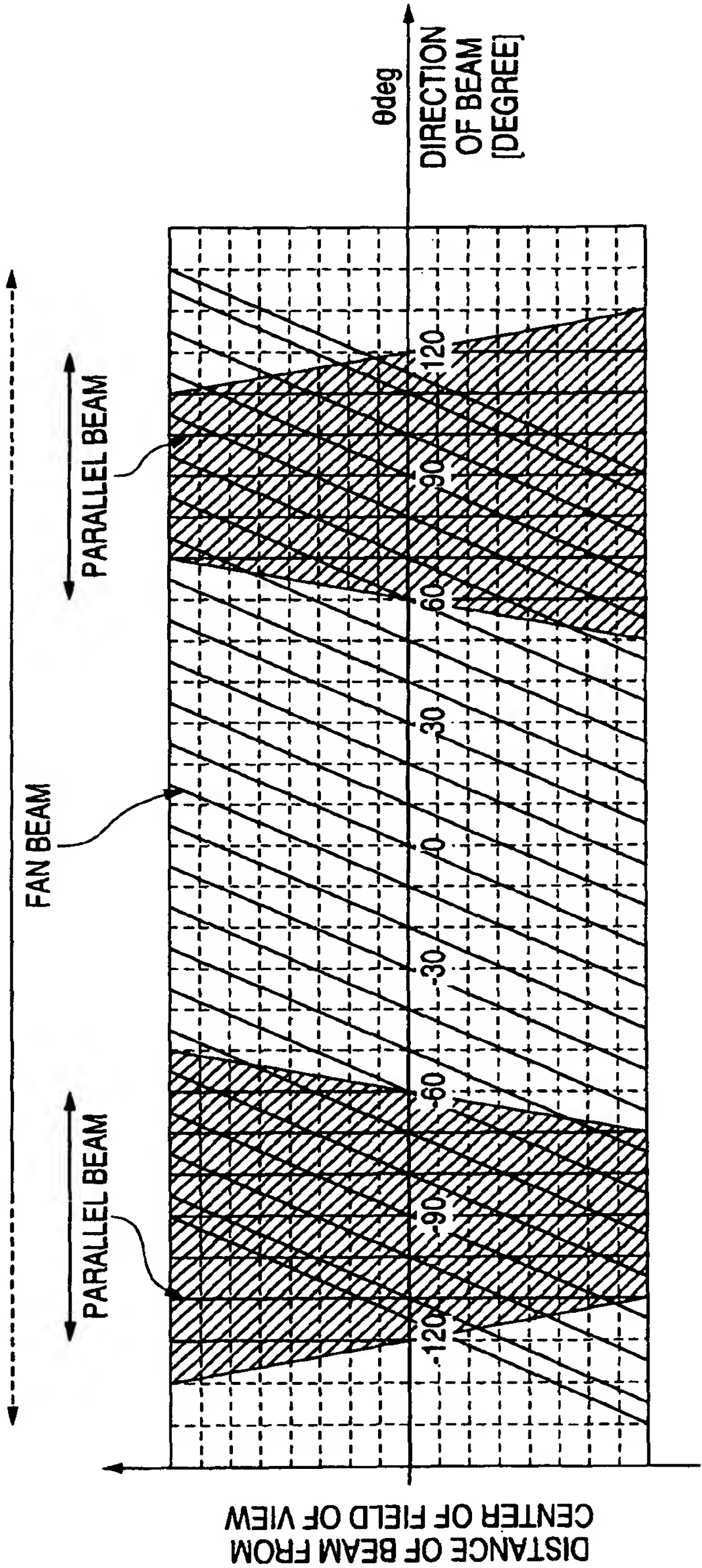
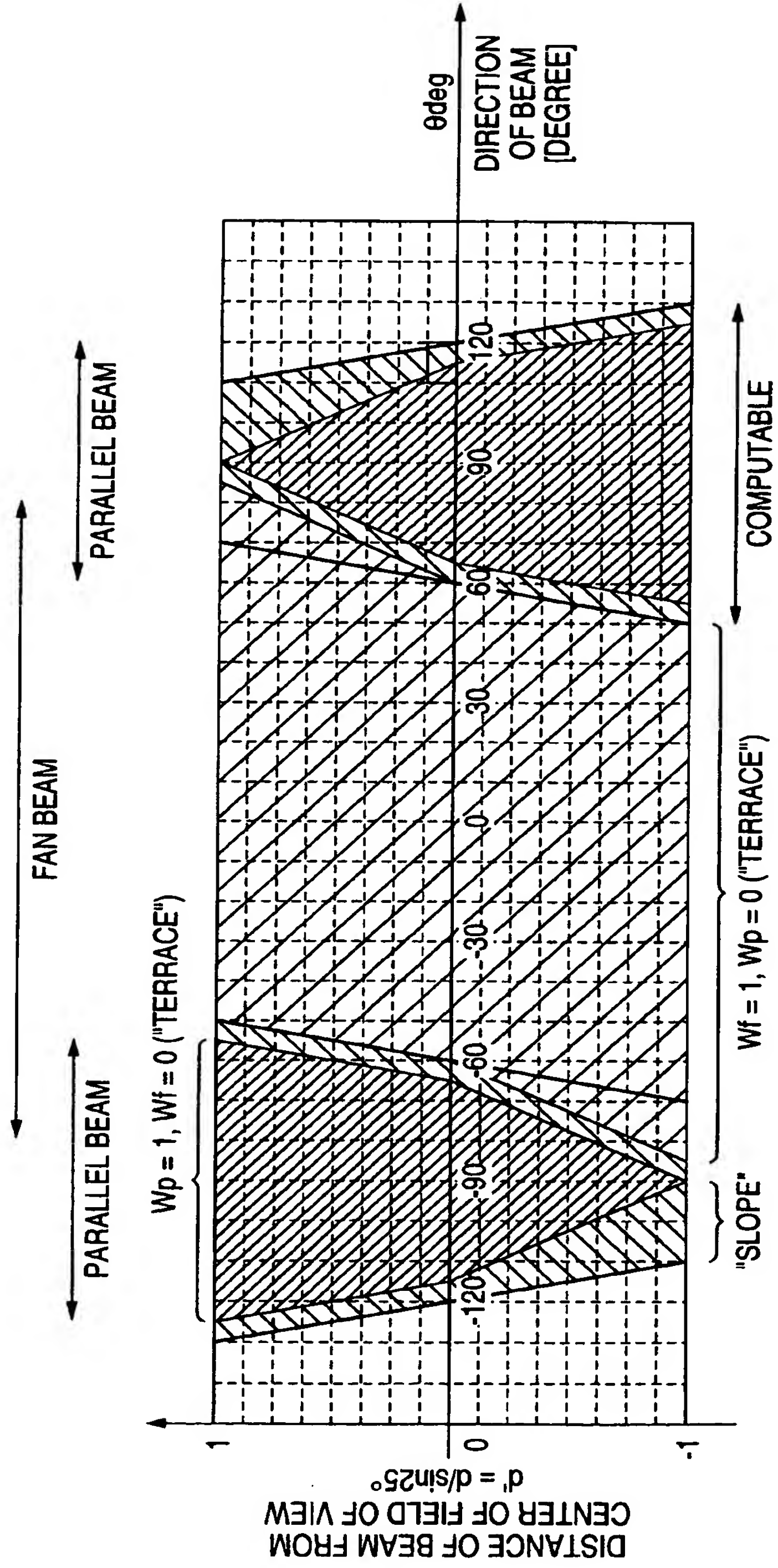


FIG. 15



15/20

FIG. 16



16/20

FIG. 17A

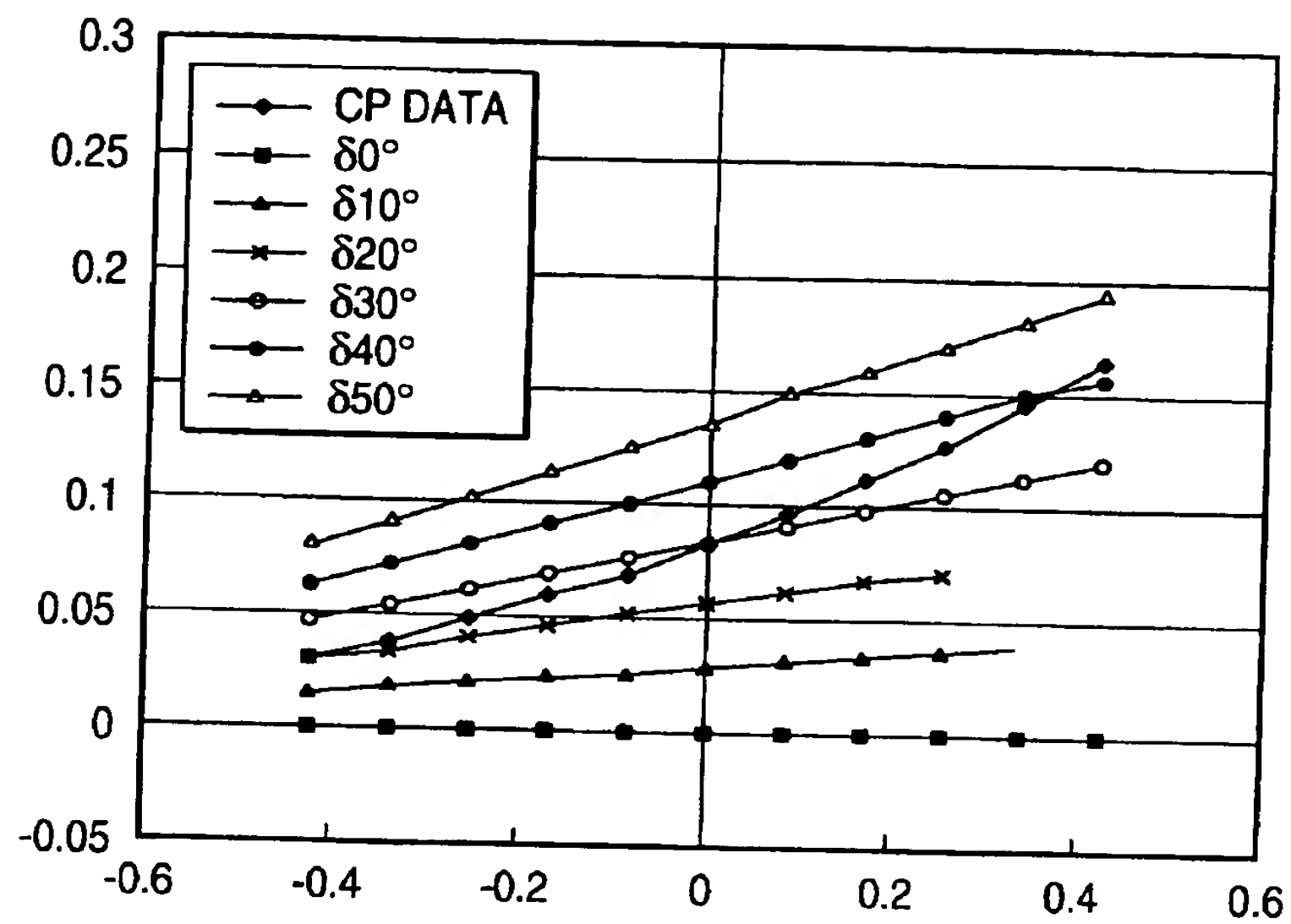


FIG. 17B

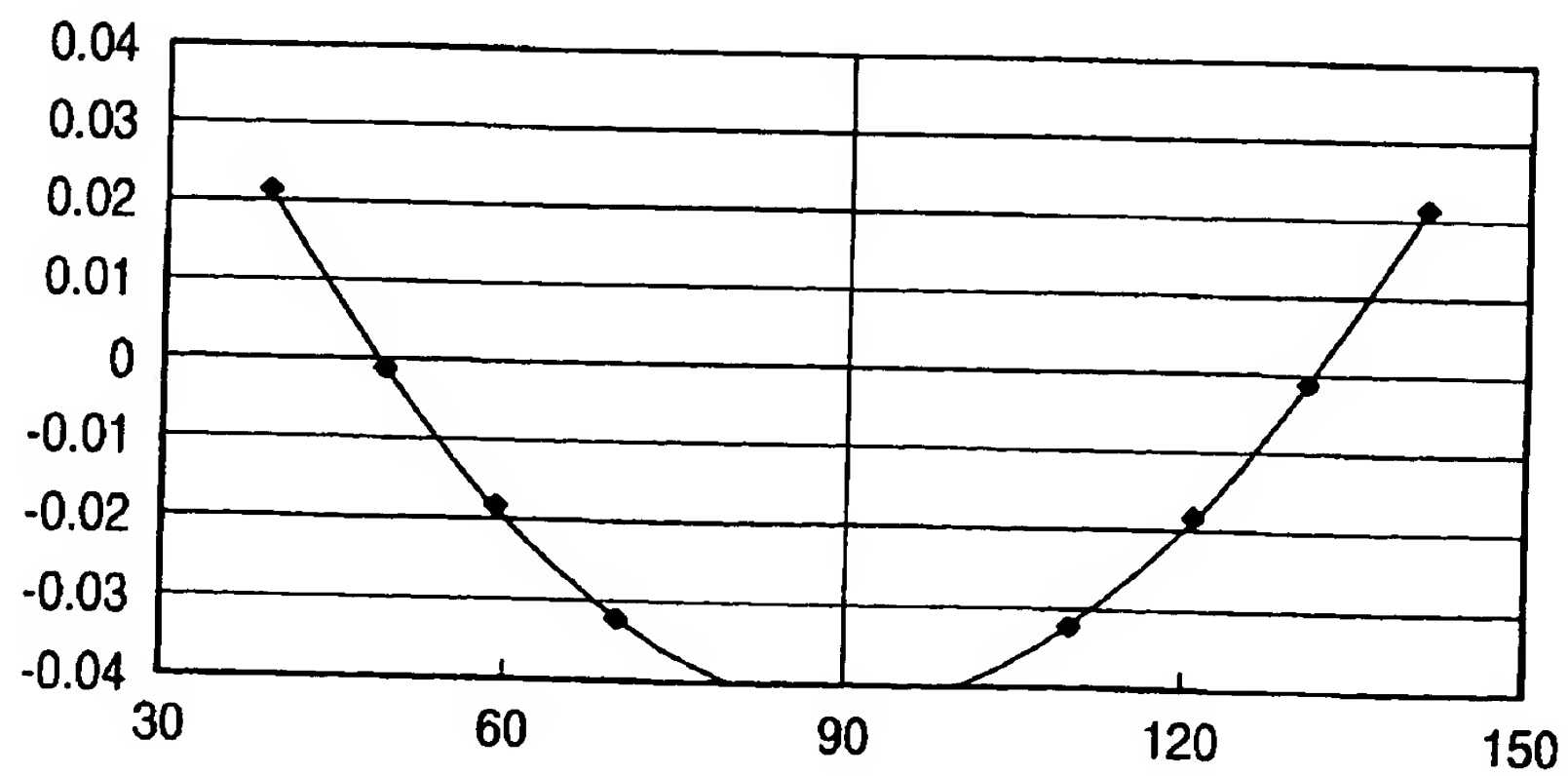
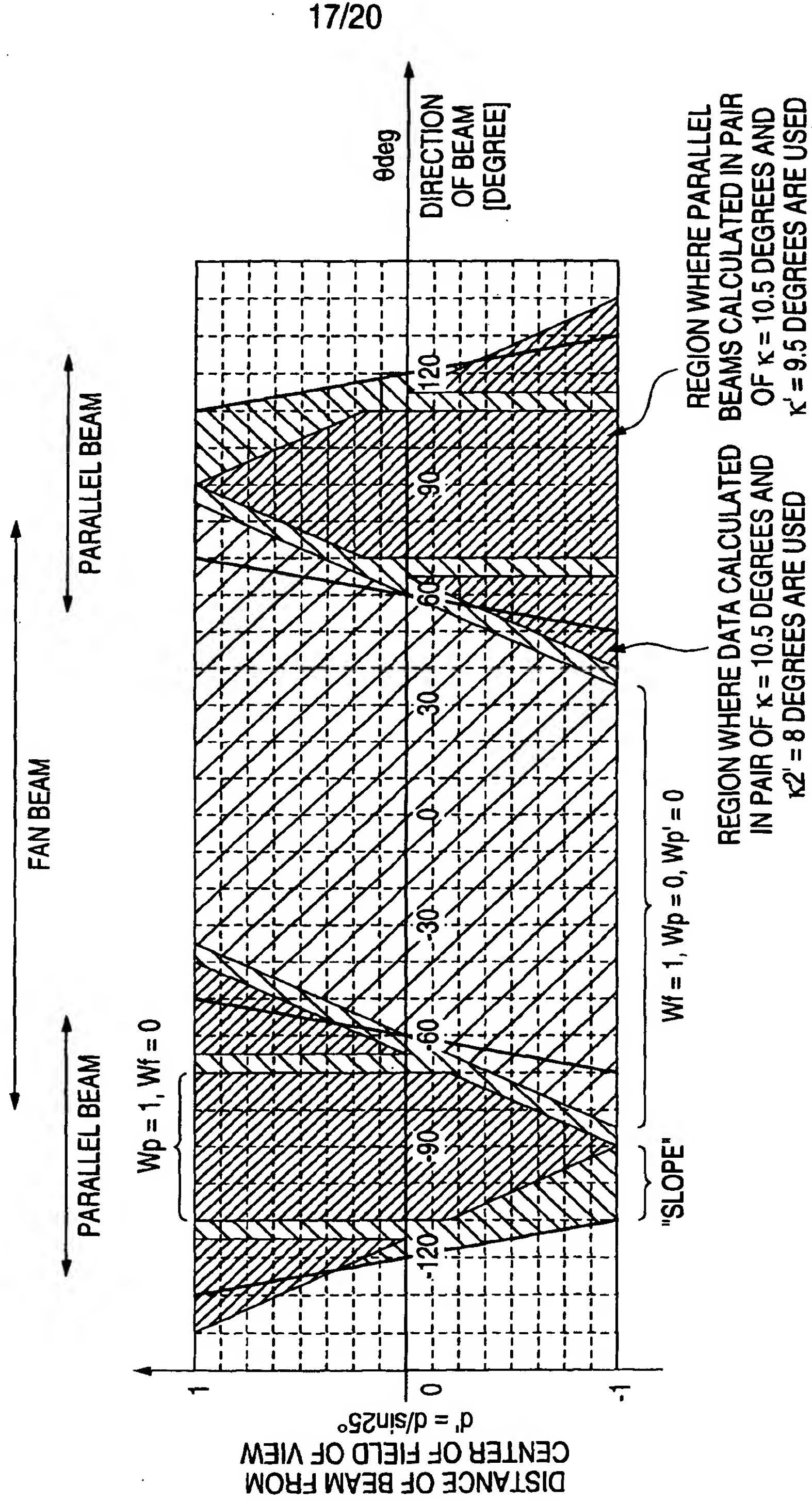


FIG. 18



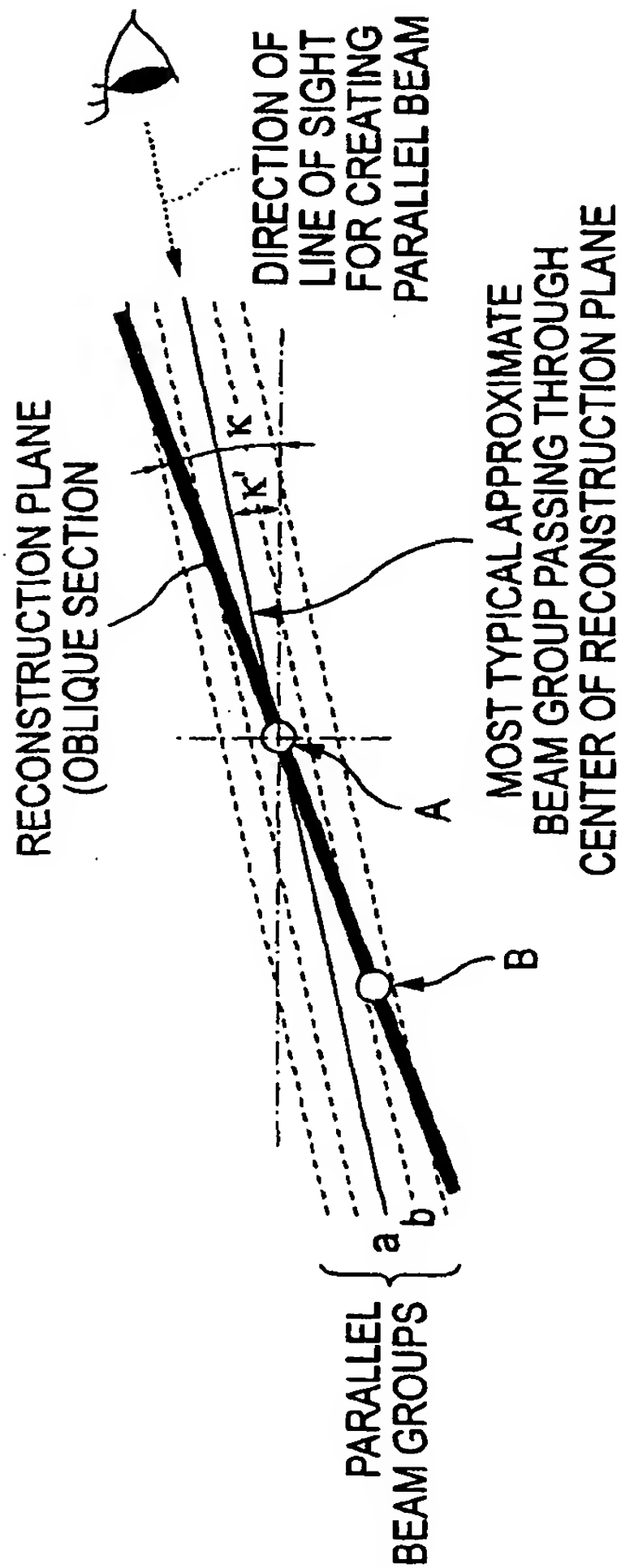


FIG. 19A

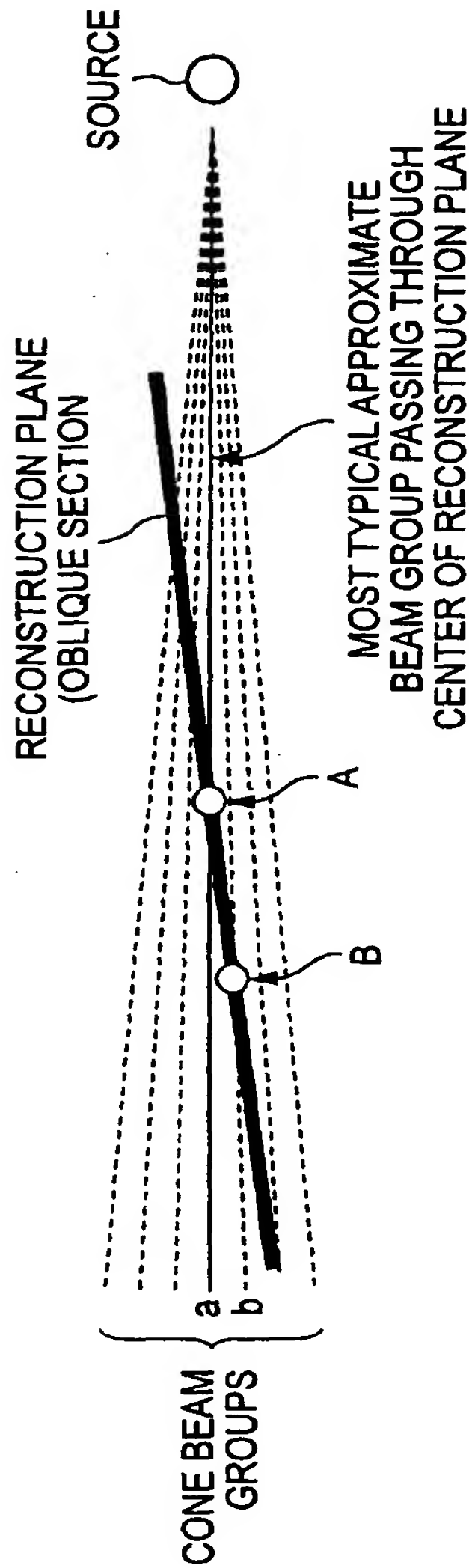


FIG. 19B

FIG. 20A

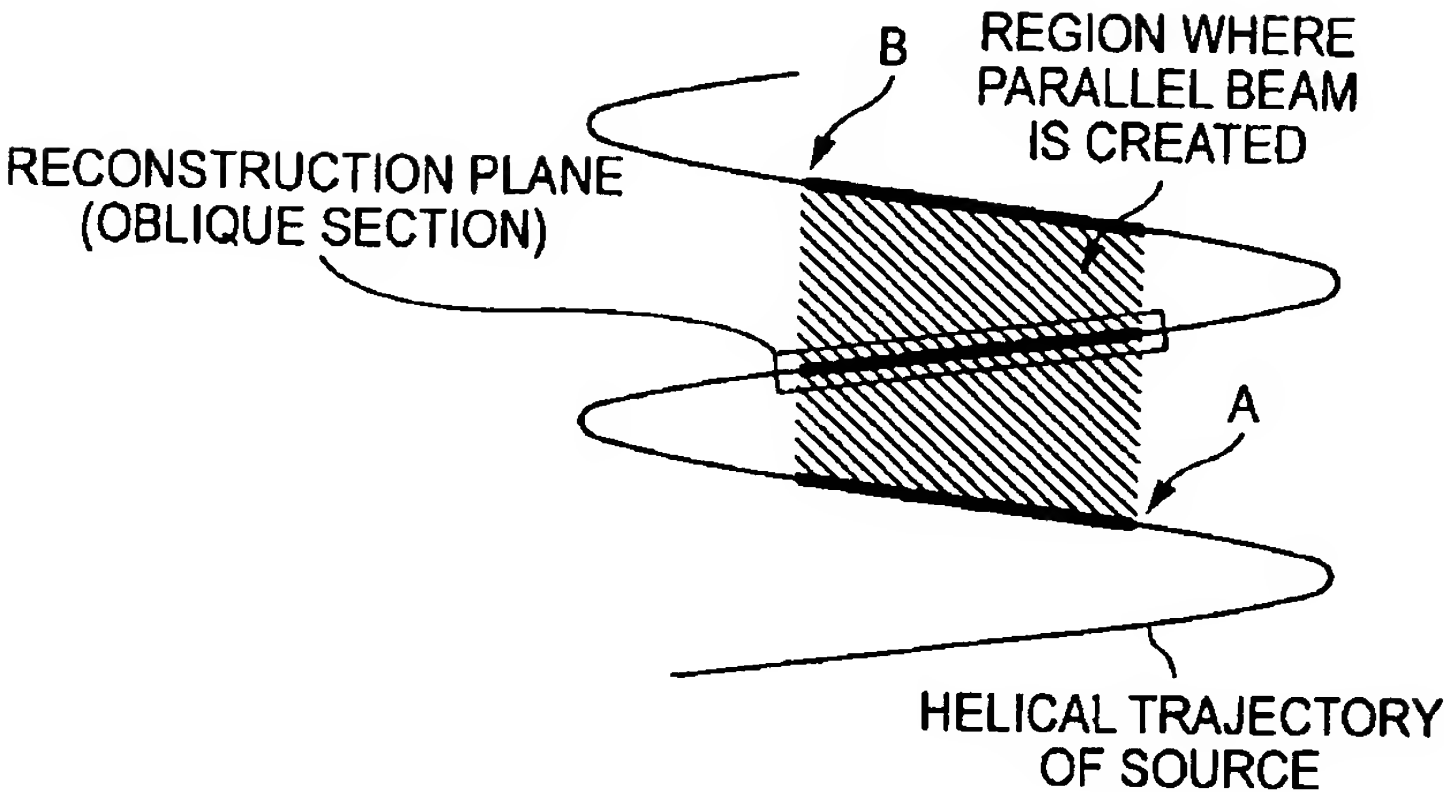


FIG. 20B



FIG. 20C



FIG. 21

